

大阪市立大学工学部 学生員 前田 孝士  
 大阪市立大学工学部 正員 園田 憲一郎

1. トレスカの降伏条件に対するトラス相似による近似

図-1(b)の正方形トラスの各部材は降伏限度  $No_1, No_2 = \sqrt{2} No_1$  を持つ完全塑性材料からできているとすれば、このトラスの塑性崩壊曲面;  $F(P_x, P_y, P_{xy}) = 0$  は極限解析法の Static Theorem による次の線形計画の問題の解として得られる。

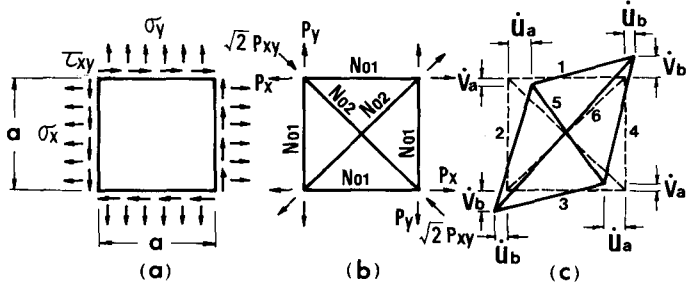


図-1 トラス相似

$$\left. \begin{aligned} & \text{maximize } \lambda P_x + \mu P_y + \varepsilon P_{xy} \\ & \text{subjected to} \\ & s_1 + \frac{1}{\sqrt{2}} s_5 = P_x - P_{xy}, \quad s_1 + \frac{1}{\sqrt{2}} s_6 = P_x + P_{xy}, \quad s_2 + \frac{1}{\sqrt{2}} s_5 = P_y - P_{xy}, \quad s_2 + \frac{1}{\sqrt{2}} s_6 = P_y + P_{xy}, \\ & s_1 = s_3, \quad s_2 = s_4, \quad |s_1 - s_2| + \frac{\beta}{\sqrt{2}} |s_6 - s_5| \leq 2 No_1, \quad |s_1| \leq No_1, \quad |s_2| \leq No_1, \quad |s_5| \leq No_2, \quad |s_6| \leq No_2 \end{aligned} \right\} (1)$$

ここに  $s_i (i = 1, 2, \dots, 6)$  は部材力,  $\lambda, \mu, \varepsilon$  は任意の定数である。

図-1(a)の連続体要素の降伏応力を  $\sigma_0$  とし,

$$No_1 = a \sigma_0 / 4, \quad P_x = \sigma_x a / 2, \quad P_y = \sigma_y a / 2, \quad P_{xy} = \tau_{xy} a / 2 \quad (2)$$

と置けば、上記の問題の解は図-2に示す曲面となる。式(1)における水平材, 垂直材, 斜材の相対降伏条件式の係数;  $\beta = 1$  とすれば、この曲面はトレスカの降伏条件式;  $f(\sigma_x, \sigma_y, \tau_{xy}) = 0$  の下界式となる。

次に極限解析法の Kinematic Theorem から同じ問題を考える。連続体要素の塑性ひずみ速度  $(\dot{\epsilon}_x, \dot{\epsilon}_y, \dot{\gamma}_{xy})$  とトラス崩壊時の変形速度  $(\dot{\delta}_x, \dot{\delta}_y, \dot{\delta}_{xy})$  の関係は

$$\dot{\epsilon}_x = \dot{\delta}_x / a = (\dot{u}_b - \dot{u}_a) / a, \quad \dot{\epsilon}_y = \dot{\delta}_y / a = (\dot{v}_b - \dot{v}_a) / a, \quad \dot{\gamma}_{xy} = \dot{\delta}_{xy} / a = (\dot{u}_a + \dot{v}_a + \dot{u}_b + \dot{v}_b) / a \quad (3)$$

と置けば、図-2の  $F(P_x, P_y, P_{xy}) = 0$  は次の問題の解によって得られる。

$$\left. \begin{aligned} & \text{minimize } \frac{No_1 [2(\lambda_1^+ + \lambda_1^- + \lambda_2^+ + \lambda_2^-) + \sqrt{2}(\lambda_5^+ + \lambda_5^- + \lambda_6^+ + \lambda_6^-) + 2(\lambda_{11}^+ + \lambda_{12}^+ + \lambda_{13}^+ + \lambda_{14}^+)]}{2(P_x \dot{\delta}_x + P_y \dot{\delta}_y + P_{xy} \dot{\delta}_{xy})} \\ & \text{subjected to} \\ & \dot{\delta}_1 = \lambda_1^+ - \lambda_1^- + \lambda_{11}^+ + \lambda_{12}^+ - \lambda_{13}^- - \lambda_{14}^-, \quad \dot{\delta}_2 = \lambda_2^+ - \lambda_2^- - \lambda_{11}^+ - \lambda_{12}^+ + \lambda_{13}^- + \lambda_{14}^- \\ & \dot{\delta}_5 = \lambda_5^+ - \lambda_5^- + \lambda_{11}^+ + \lambda_{12}^+ - \lambda_{13}^- - \lambda_{14}^-, \quad \dot{\delta}_6 = \lambda_6^+ - \lambda_6^- - \lambda_{11}^+ - \lambda_{12}^+ + \lambda_{13}^- + \lambda_{14}^- \\ & \dot{\delta}_x = \dot{\delta}_1 = \dot{u}_b - \dot{u}_a, \quad \dot{\delta}_y = \dot{\delta}_2 = \dot{v}_b - \dot{v}_a, \quad \dot{\delta}_{xy} = (\dot{\delta}_6 - \dot{\delta}_5) / \sqrt{2} = \dot{u}_a + \dot{u}_b + \dot{v}_a + \dot{v}_b, \quad \lambda_1^+, \lambda_1^-, \dots, \lambda_{14}^+ \geq 0 \end{aligned} \right\} (4)$$

ここに  $\lambda_1^+, \lambda_1^-, \dots, \lambda_{14}^+$  は式(1)の部材降伏条件式に対する塑性流れ係数を示す。

一方、塑性ひずみ速度エネルギー-速度  $\dot{D}$  について考える。式(2), (3)の関係より,

$$\dot{D} = a^2 (\sigma_x \dot{\epsilon}_x + \sigma_y \dot{\epsilon}_y + \tau_{xy} \dot{\gamma}_{xy}) = 2 P_x \dot{\delta}_x + 2 P_y \dot{\delta}_y + 2 P_{xy} \dot{\delta}_{xy} \quad (5)$$

図-2の曲面に対する塑性流束法則は次式を与える。

$$\dot{\epsilon}_x = d\mu \frac{\partial f}{\partial \sigma_x}, \quad \dot{\epsilon}_y = d\mu \frac{\partial f}{\partial \sigma_y}, \quad \dot{\gamma}_{xy} = d\mu \frac{\partial f}{\partial \tau_{xy}}, \quad \dot{\delta}_x = d\nu \frac{\partial F}{\partial P_x}, \quad \dot{\delta}_y = d\nu \frac{\partial F}{\partial P_y}, \quad \dot{\delta}_{xy} = d\nu \frac{\partial F}{\partial P_{xy}} \quad (6)$$

ここに  $d\mu, d\nu \geq 0$ 。任意のひずみ速度場  $(\dot{\epsilon}_x, \dot{\epsilon}_y, \dot{\gamma}_{xy}) = (\dot{\delta}_x, \dot{\delta}_y, \dot{\delta}_{xy}) / a$  における  $\dot{D} = \text{const.}$  の曲面,  $\beta = 1$  の場合, を描けば、図-3のようになる。トラス相似による曲面はトレスカの曲面を

完全に包含しているの、Kinematic Theorem から  
 $F(P_x, P_y, P_{xy}) = 0$  は  $f(\delta_x, \delta_y, \tau_{xy}) = 0$  の下界式  
 であることが判る。

2. 梁の相関曲線および架ばりの塑性強度解析への応用  
 図1(b)の正方形トラスを組み合わせて軸力-曲げ  
 モーメント相関曲線およびせん断力-曲げモーメント  
 相関曲線を計算したものが図4である。層数  $n$  を  
 大きくすれば、連続体としての相関曲線に近づくことが  
 分る。次に架ばりの塑性強度の計算例を図5、図6  
 に示す。層数、径間数がある程度多くすれば、十分  
 信頼できる極限荷重が得られることが推察できる。

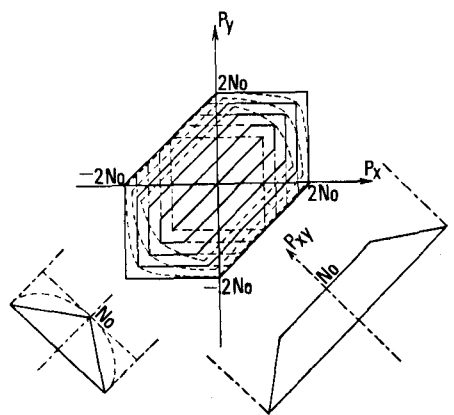


図2 塑性崩壊曲面(点線はトレスカ,  
 実線は  $\beta=1.0$ , 鎖線は  $\beta=0$  の場合)

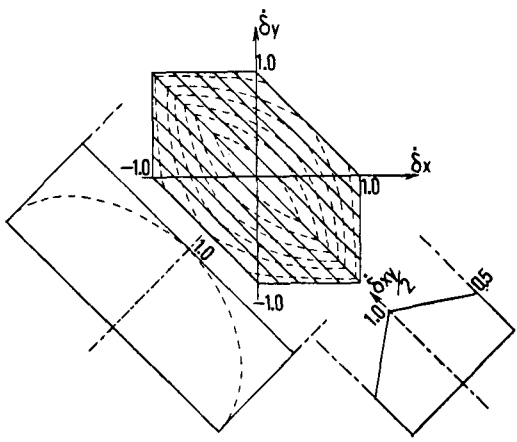


図3  $\dot{\delta} = \text{const.}$  曲面(点線はトレスカ,  
 実線は  $\beta = 1.0$  の場合)

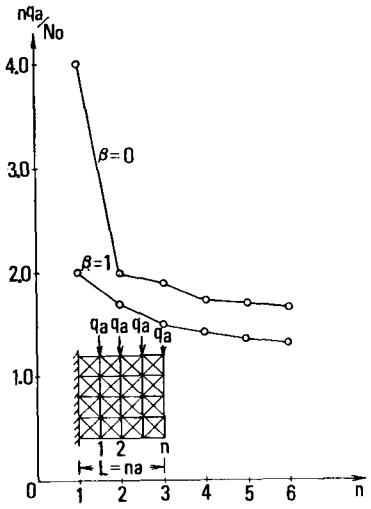


図5 トラス相似による深ばりの極限強度

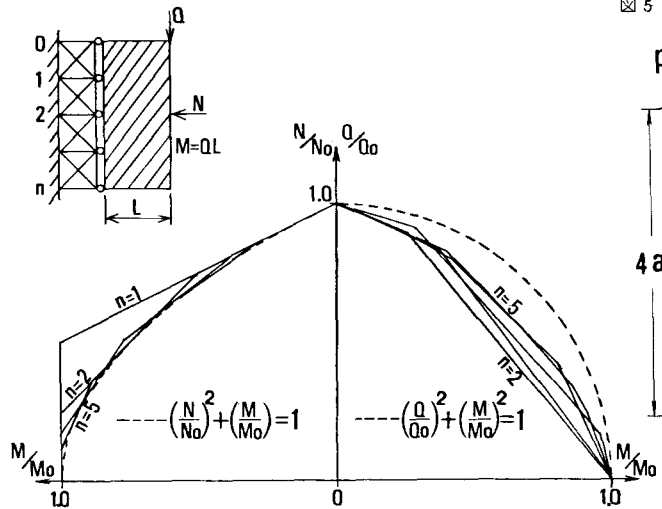


図4 トラス相似 ( $\beta = 1.0$ ) による曲げモーメント-軸力,  
 曲げモーメント-せん断力の相関曲線

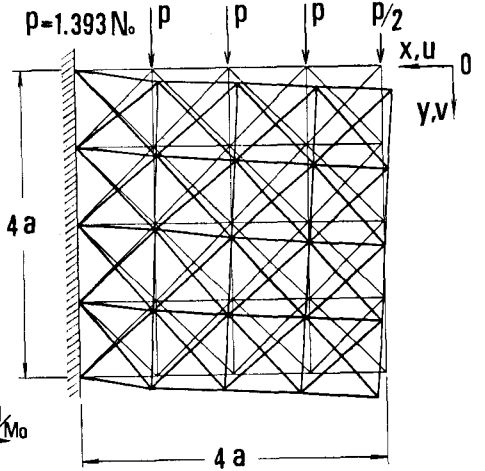


図6 トラス相似 ( $\beta = 1.0$ ) による  
 深ばりの崩壊機構